



БИООРГАНИЧЕСКАЯ ХИМИЯ

том 4 * № 4 * 1978

УДК 547.963.32 + 542.953.2

СИНТЕЗ ОЛИГО- И ПОЛИНУКЛЕОТИДОВ

XX. СИНТЕЗ ДОДЕКАДЕЗОКСИНУКЛЕОТИДОВ АТСТТАСТГСАТ
И САТСГТАССГТГ ФОСФОТРИЭФИРНЫМ МЕТОДОМ *

Добрынин В. Н., Болдырева Е. Ф., Выстров Н. С.,
Северцова Н. В., Чернов Б. К., Колосов М. Н.

Институт биоорганической химии им. М. М. Шемякина
Академии наук СССР, Москва

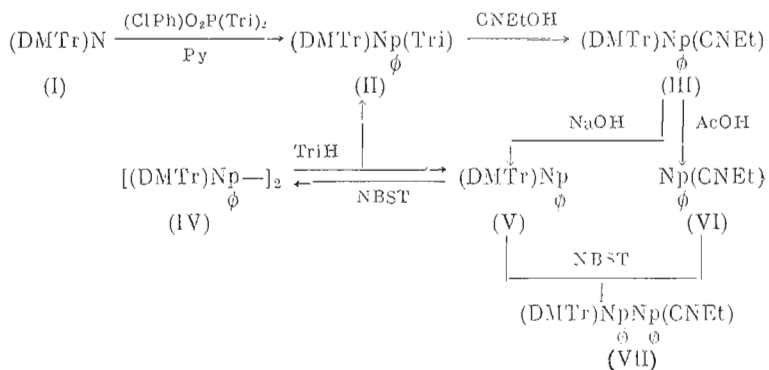
Осуществлен синтез додекадезоксигуанукулеотидов А-Т-С-Т-Т-А-С-Т-G-C-А-Т (XXVI) и С-А-Т-С-G-T-A-C-C-G-А-T (XLIV), содержащихся в промоторах A₂ и A₃ ДНК бактериофага T7. Синтез проводился триэфирным методом Наранга и сотр., причем додекануклеотид (XXVI) был получен по схеме (2 + 2) + [(2 + 2) + (2 + 2)], а (XLIV) — по схеме [(1 + 2) + 2] + [(2 + 1) + (2 + 2)]. Исходными веществами служили полностью N, O, P-защищенные 3'-нуклеотиды, приготовленные из соответствующих N-ацил-5'-диметокситритпилнуклеозидов и n-хлорфенилфосфобистриазолидата в присутствии пиридина; найдено, что пиридин значительно ускоряет реакцию фосфорилирования. В качестве активирующего реагента для межнуклеотидных конденсаций использовали n-нитробензолсульфотриазолид. С помощью ³¹P-ЯМР установлено, что при взаимодействии с NBST хлорфениловые эфиры 3'-нуклеотидов превращаются в соответствующие пирофосфаты и триазолиды, которые являются активными фосфорилирующими промежуточными соединениями в этих конденсациях.

Одной из интересных областей ДНК бактериофага T7 являются промоторы ранних генов A₁, A₂ и A₃, эффективно узнаваемые РНК-полимеразой *E. coli*. Для двух из них, A₂ и A₃, недавно была определена нуклеотидная последовательность участков связывания РНК-полимеразы [2], но структура сайтов узнавания фермента осталась невыясненной. С целью ее изучения мы предприняли химический синтез додекануклеотидов А-Т-С-Т-Т-А-С-Т-G-C-А-Т (XXVI) и С-А-Т-С-G-T-A-C-C-G-T-G (XLIV), которые содержатся в r-цепи промоторов A₂ и A₃, находясь соответственно на расстоянии 7 и 6 нуклеотидных звеньев перед точкой инициации транскрипции (в районе так называемых боксов Прибнова). Благодаря этому они могут служить затравками для ферментативного синтеза с помощью ДНК-полимеразы предшествующей части промотора, в которой расположен сайт узнавания РНК-полимеразы.

Оба додекануклеотида (XXVI) и (XLIV) синтезированы фосфотриэфирным путем по способу Наранга и сотр. [3, 4] с небольшими изменениями методического характера. В качестве исходных веществ (см. схему 1) ис-

* Сообщение XIX см. [1]. Использованы обозначения, рекомендованные Поменклатурной комиссией IUPAC — IUB, но символ d для краткости везде опущен, так как в статье упоминаются нуклеозиды и нуклеотиды только дезокси-ряда. Другие сокращения: ClPh — n-хлорфенил; CNEt — 2-цианэтил; MST — мезитиленсульфотриазолид; NBST — n-нитробензолсульфотриазолид; SPDE — фосфодиэстераза селезенки [КФ 3.1.4.1]; TEAB — бикарбонат триэтиламмония; Trt — симм-триазол-1-ил; VPDE — фосфодиэстераза змеиного яда [КФ 3.1.4.1].

Схема 4

 $(\phi = \text{CIPh})$ 

a : N = T, б : N = bzC, в : N = bzA, г : N = acG.

пользовали N-защищенные 5'-диметокситритилнуклеозиды (I) со следующими N-защитными группами в гетероциклических основаниях: в A и С — бензоил, в G — ацетил. Исходные нуклеозиды (I) для превращения в Р-замещенные 3'-нуклеотиды (III) фосфорилировали *n*-хлорфенилфосфобистриазолидом, образующиеся монотриазолиды (II) без очистки обрабатывали цианэтаполом и конечные продукты (III) выделяли хроматографией на силикагеле. Было обнаружено, что реакция 3'-фосфорилирования (I) \rightarrow (II) катализируется пиридином и в присутствии этого основания полностью заканчивается за 15 мин, тогда как в его отсутствие (в диоксане, по методу Наранга и сотр. [3]) на ее завершение требуется 6—8 ч. Существенно также, что присутствие пиридина способствует в дальнейшем сохранению DMTr-группы, позволяя в значительной мере избежать ее неконтролируемого отщепления при получении и выделении полностью N,O,P-защищенного 3'-нуклеотида (III).

Из соединений (III) Р-цианэтильная группа легко удаляется при кратковременном (до 1 мин) гидролизе 0,1 н. NaOH, а О-диметокситритильная группа — при действии 80% AcOH (в случае bzA-содержащих соединений во избежание частичной апуринизации для этой цели использовали смесь 80% AcOH — метанол, 4 : 1). Приготовленные таким путем нуклеотиды типа (V) и (VI) послужили соответственно фосфатными и гидроксильными компонентами для конденсации под действием NBST с образованием полностью защищенных динуклеотидов типа (VII).

Механизм активации вторичной фосфатной группы под действием NBST был нами исследован на примере ClPh-эфира 5'-DMTr-тимидиловой-3'-кислоты (Va). Представлялось вероятным, что при этой реакции, так же как при взаимодействии динуклеозидмонофосфатов с ArSO₂Cl [5], сначала образуется смешанный ангидрид нуклеотида и арилсульфокислоты, который немедленно расщепляется присутствующими нуклеофилами — исходным фосфодиэфиром и/или образовавшимся на первом этапе триазолом. Действительно, мы нашли (рис. 1), что при взаимодействии фосфодиэфира (Va) (δ_p 5,7 м.д.) с избытком NBST в реакционном растворе сначала накапливается преимущественно пирофосфат (IVa) (δ_p 19,77; 20,13 и 20,32 м.д.), а затем триазолид (IIa), который получается также (в виде двух стереоизомеров, δ_p 15,51 и 15,60 м.д.) при фосфорилировании 5'-DMTr-тимидина (Ia) бис-триазолидом *n*-хлорфенилфосфата. В пирофосфатах (IV) имеется два асимметрических атома фосфора и соответственно этому возможно существование трех диастереомеров с хиральностью фосфора RR, SS и RS = SR. Наблюдаемые спектры ³¹P-ЯМР (рис. 1) свидетельствуют о том, что, по-видимому, образуются все три стереоизомера (IVa). Пирофосфаты (IV) и триазолиды (II) являются активными фосфорилирующими

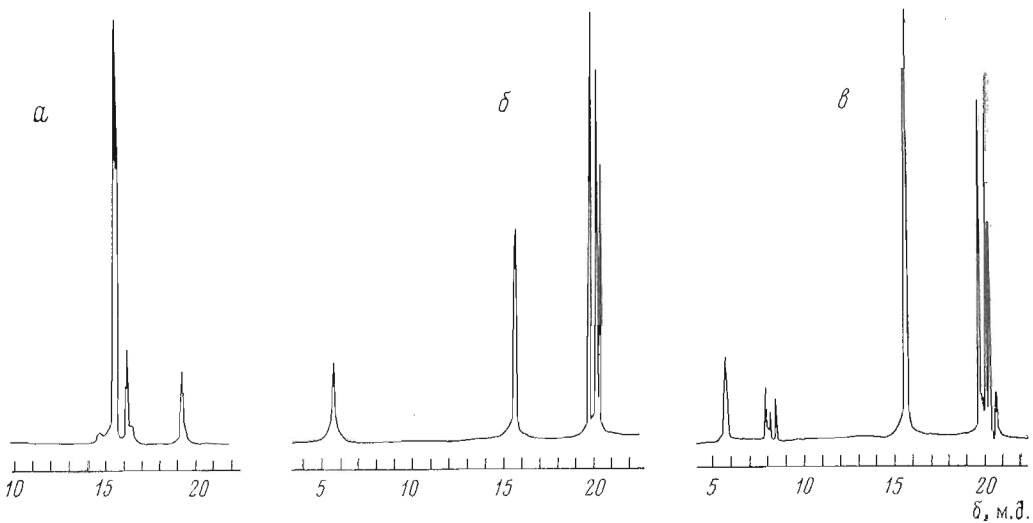
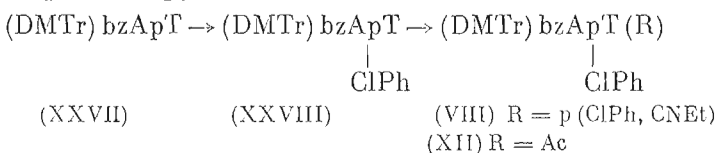


Рис. 1. Спектры ^{31}P -ЯМР реакционных смесей: *а* — 0,5 ммоль 5'-диметокситритильтимицина (Ia) и 0,75 ммоль *n*-хлорфенилфосфобистриазолидата в 3 мл диоксана через 5 ч после смешения; *б* — 0,25 ммоль *n*-хлорфенил-5'-диметокситритильт-3'-тимицилата (Va) и 0,75 ммоль *n*-нитробензольсульфонилтриазолида в 3 мл пиридина через 2 ч; *в* — тот же раствор, что и *б*, но через 16 ч

соединениями и находятся в состоянии динамического равновесия из-за присутствия в реакционном растворе триазола и исходного диэфира (V). В какой степени межнуклеотидная конденсация (V) + (VI) \rightarrow (VII) под действием NBST протекает через стадию образования пироfosфата (IV) и в какой степени через стадию триазолида (II), должно зависеть от степени электрофильности (по отношению к спиртовой группе) и пространственного экранирования атомов фосфора в этих соединениях. Вероятно, на дальнейших этапах синтеза, по мере увеличения длины нуклеотидной цепи, пространственные эффекты приобретают все большее значение.

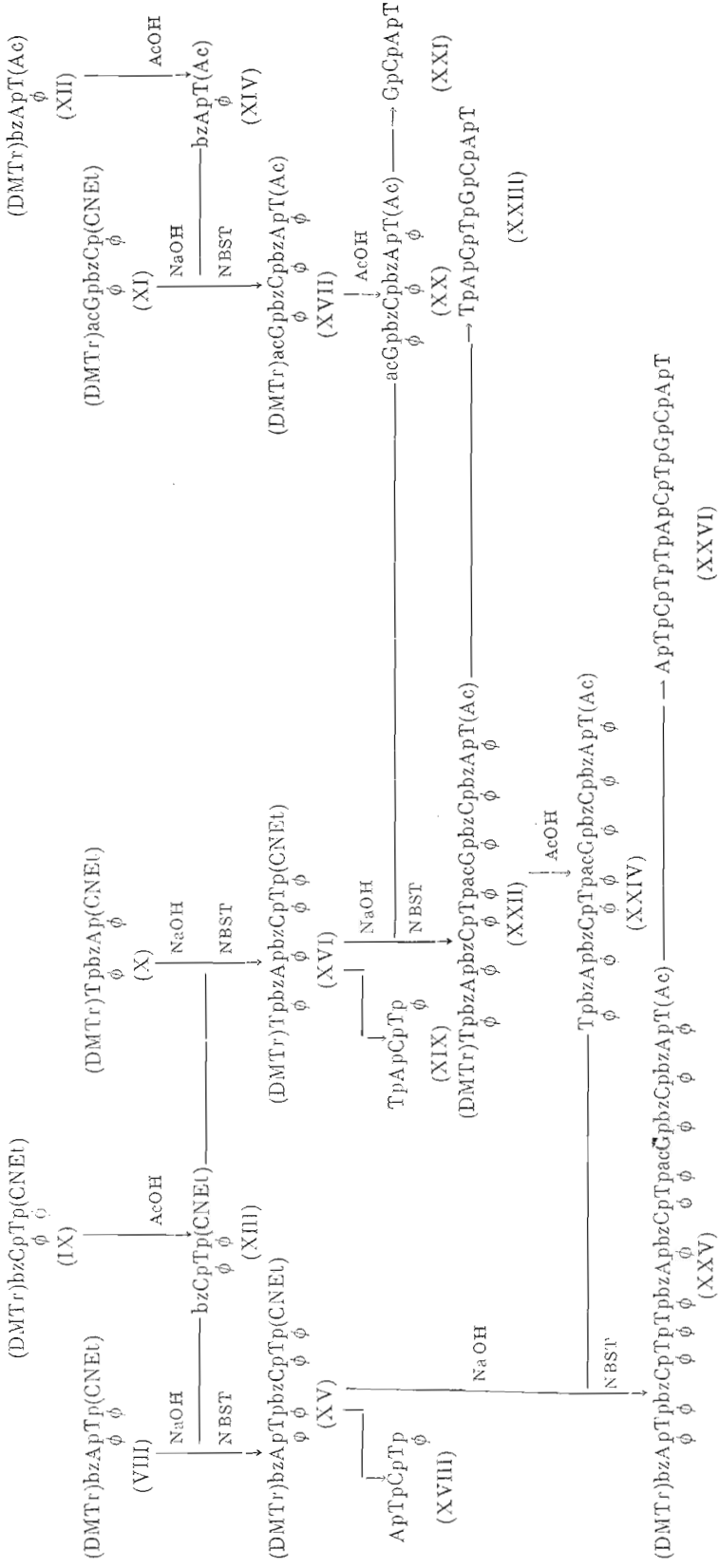
Полученные описанным выше способом динуклеотиды (VIII) — (XII) были превращены сначала в тетрануклеотиды (XV) — (XXI), затем в октануклеотиды (XXII) и (XXIV) и, наконец, в додекануклеотиды (XXV) и (XXVI), как показано на схеме 2. Динуклеотиды (VIII) и (XII), кроме того, синтезированы другим путем:



В динуклеозидмонофосфате (XXVII) по разработанному ранее методу [6] межнуклеотидная фосфатная группа была этерифицирована *n*-хлорфенолом с помощью NBST или MST. Образовавшийся Р-защищенный динуклеозидфосфат со свободным 3'-гидроксилом (XXVIII) превращен в 3'-ацитат (XII) или подвергнут фосфорилированию посредством *n*-хлорфенилфосфобистриазолидата и затем цианэтилированию с образованием защищенного динуклеотида (VIII). Несмотря на очевидное достоинство этого пути, в котором оба динуклеотидных блока (VIII) и (XII) получаются из общего предшественника (XXVIII), он оказался менее выгодным, чем синтез по схеме 1, вследствие большей трудоемкости и меньшего суммарного выхода.

Синтез второго додекануклеотида — C-A-T-C-G-T-A-C-C-G-T-G (XLIV) изображен на схеме 3. Если в предыдущем синтезе (схема 2) пук-

Cxema 2
(ϕ =CIPh)



леотидные блоки соединялись в последовательности $(2 + 2) + [(2 + 2) + (2 + 2)]$ и один динуклеотид (XIII, обозначен курсивной двойкой) использовался два раза в качестве OH-компоненты — для получения тетрануклеотидов (XV) и (XVI), то второй синтез проводился путем $[(1 + 2) + 2] + [(2 + 1) + (2 + 2)]$, причем один и тот же динуклеотид (XXIX, обозначен курсивной двойкой) служил OH-компонентом для получения пентануклеотида (XXXVII) и Р-компонентом для получения тетрануклеотида (XXXV).

Выделение продуктов межнуклеотидных конденсаций во всех случаях проводили путем адсорбционной хроматографии на силикагеле и полученные вещества использовали далее без дополнительной очистки. Очевидно, что такая хроматография по своей разрешающей способности уступает более длительной и трудоемкой хроматографии Р-незащищенных олигонуклеотидов на DEAE-целлюлозе. Кроме того, Р-защищенные олигонуклеотиды представляют собой многокомпонентные смеси (2^n стереоизомеров, где n — число фосфотриэфирных групп), вследствие чего обычно элюируются в виде широких зон. По этим причинам представлял особый интерес анализ промежуточных и конечных продуктов синтеза после их полного деблокирования.

Для удаления защитных групп продукты межнуклеотидных конденсаций последовательно обрабатывали 30% NH_3 (2 сут, 20°) и 80% уксусной кислотой (20° , 30 мин). При аммонолизе в этих условиях отщепляются все Р-защитные группы (а также О- и N-ацильные), кроме 3'-концевой Р-хлорфенильной группы, которая полностью сохраняется подобно межнуклеотидным фосфодиэфирным связям.

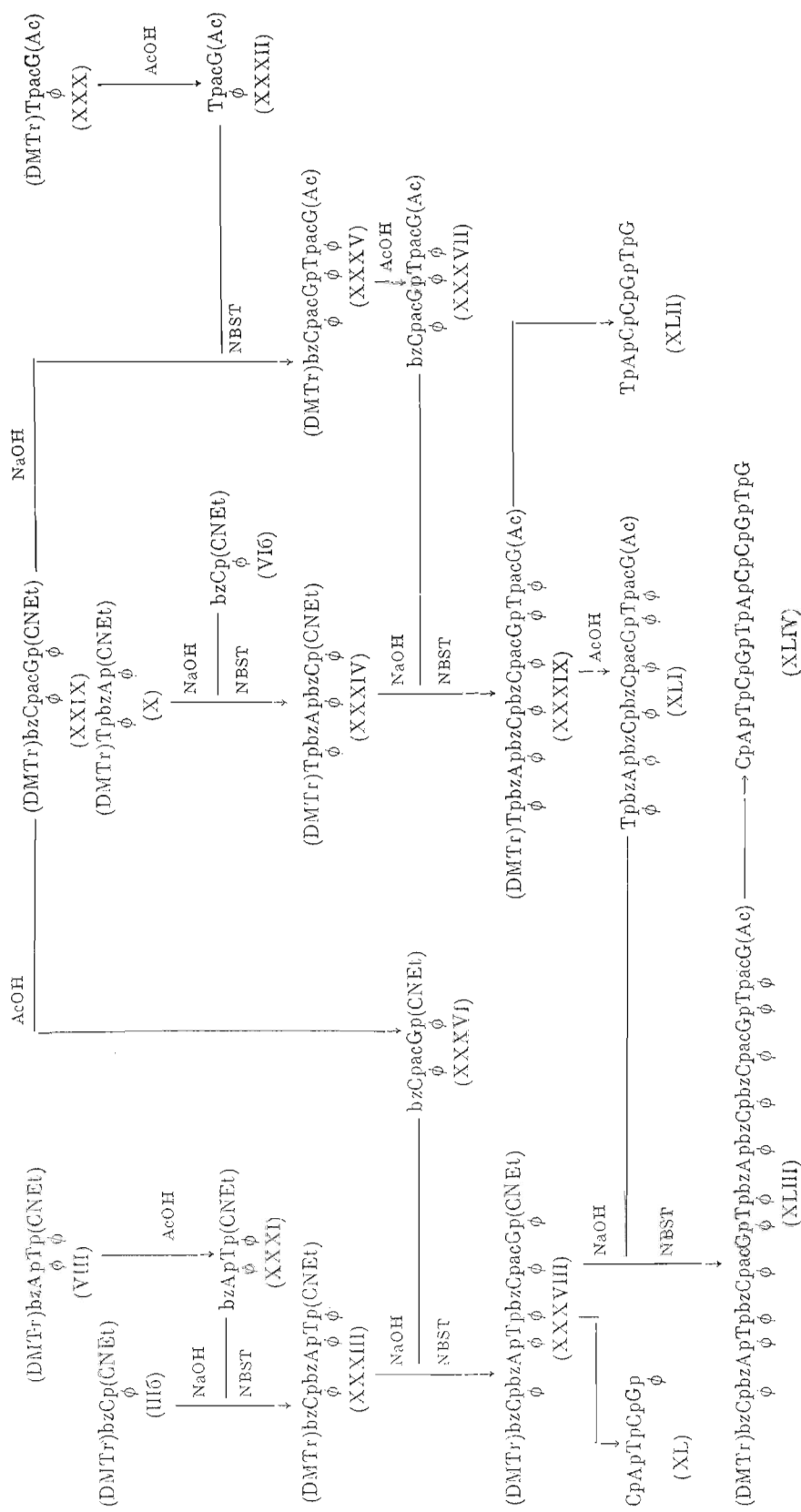
Анализ мономерного состава проводился на стадии 4—5-членных нуклеотидных блоков. Для этого тетрануклеотиды (XV) — (XVII) (схема 2) и пентануклеотид (XXVIII) (схема 3) были деблокированы описанным выше способом, образовавшиеся незащищенные олигонуклеотиды (XVIII), (XIX), (XXI) и (XL) выделены анионообменной хроматографией на DEAE-целлюлозе в линейном градиенте концентрации TEAB и подвергнуты энзиматическому гидролизу. Так как хлорфенилфосфатная группа устойчива к действию фосфодиэстераз, все олигонуклеотиды, содержащие ее, гидролизовали при помощи SPDE и лишь 3'-незащищенный тетрануклеотид (XXI) гидролизовали посредством VPDE. Продукты гидролиза разделяли хроматографией на бумаге и определяли спектрофотометрически; результаты анализа представлены в табл. 1.

Более длинные, 7—12-членные, олигонуклеотиды после освобождения от защитных групп хроматографировали на DEAE-целлюлозе в 7 М растворе мочевины сначала при pH 7,5, а затем при pH 3,5. Судя по результатам рехроматографии в тех же условиях, все выделенные таким способом соединения были хроматографически чистыми. В качестве примера на рис. 2 приведены хроматографические профили выделения и очистки конечных додекануклеотидов (XXVI) и (XLIV). Каждый из них вначале содержал значительную примесь октануклеотида (XXII) или гептануклеотида (XLII), которые в защищенном виде служили OH-компонентами

Таблица 1
Ферментативный гидролиз олигонуклеотидов

Олигонуклеотид	Фермент	Найдено			
		Ар или рА	Ср или рС	Тр или рТ	С
A ₁ T _p C _p T _p (ClPh) (XVIII)	SPDE	0,87	1,07	1,00	
T _p A _p C _p T _p (ClPh) (XIX)	SPDE	0,93	1,00	1,00	
G _p C _p A _p T (XXI)	VPDE	0,89	1,00	1,00	1,05
C _p A _p T _p C _p G _p (ClPh) (XL)	SPDE	0,89	1,96	1,00	

Cinema 3
(\emptyset =CIPh)



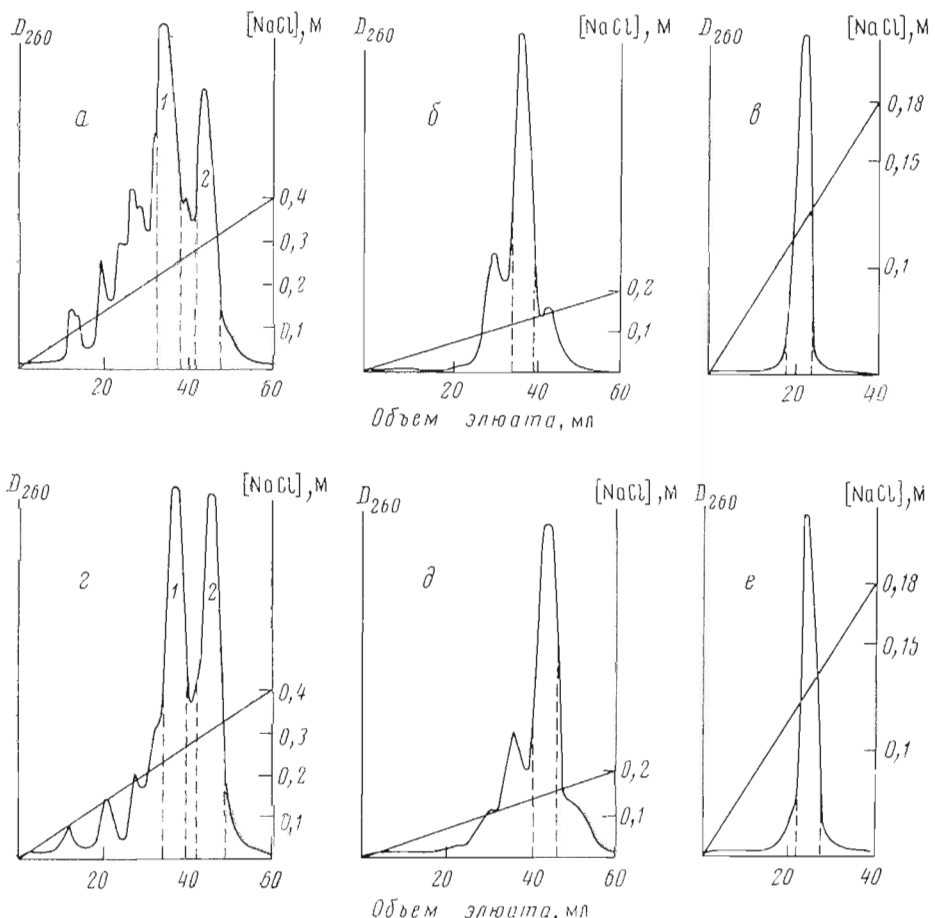


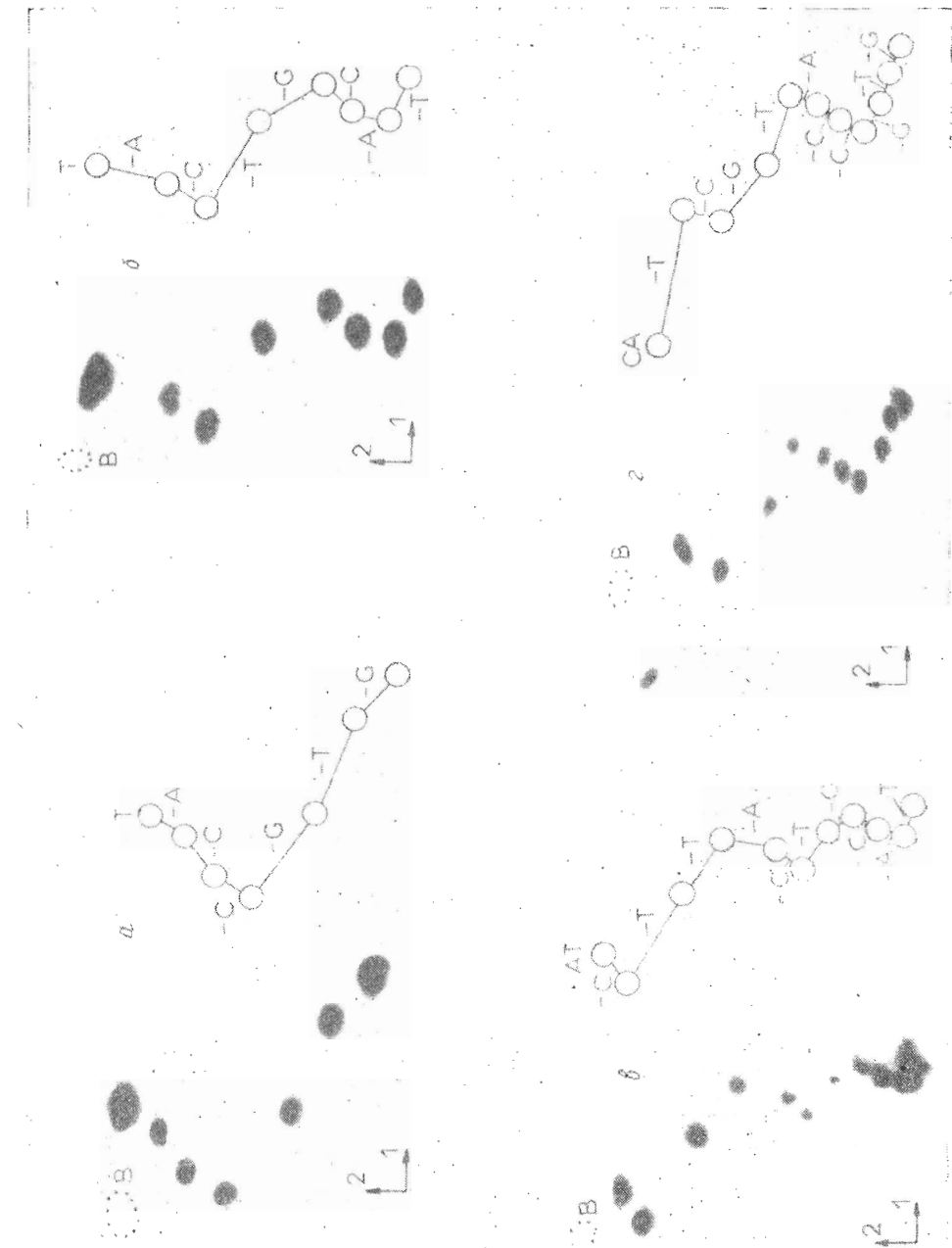
Рис. 2. Хроматография додекануклеотидов (XXVI) и (XLIV) на DEAE-целлюлозе (Cl^- , 4×200 мм) в градиенте концентрации $NaCl$ в 7 М мочевине, скорость элюции 0,3 мл/мин: *a* — выделение додекануклеотида (XXVI), 0,02 М трис-HCl, рН 7,5; фракции содержат: 1 — 38 OE_{260} октануклеотида (XXIII), 2 — 20 OE_{260} додекануклеотида (XXVI); *б* — очистка фракции 2 из опыта «*a*» при рН 3,5; *в* — рехроматография отмеченной пунктиром фракции из опыта «*б*» при рН 3,5; центральная часть пика содержит 14 OE_{260} додекануклеотида (XXVI); *г* — выделение додекануклеотида (XLIV) в условиях опыта «*a*»; фракции содержат: 1 — 23 OE_{260} гентануклеотида (XLII), 2 — 19 OE_{260} додекануклеотида (XLIV); *д* — очистка фракции 2 из опыта «*г*» при рН 3,5; *е* — рехроматография отмеченной пунктиром фракции из опыта «*д*» при рН 3,5; центральная часть пика содержит 14 OE_{260} додекануклеотида (XLIV)

(XXII) и (XLII) для межнуклеотидной конденсации на предшествующей стадии синтеза и не смогли быть отделены адсорбционной хроматографией от продуктов конденсации — соответствующих полностью защищенных додекануклеотидов (XXV) и (XLIII).

Для подтверждения чистоты и доказательства нуклеотидной последовательности гентануклеотид (XLII), октануклеотид (XXIII) и додекануклеотиды (XXVI) и (XLIV) были 5'-фосфорилированы действием $[\gamma^{32}P]ATP$ и T4 полинуклеотидкиназы. Образовавшиеся 5'-меченные олигонуклеотиды $^{[32}P]p$ -(XLII), $^{[32}P]p$ -(XXIII), $^{[32}P]p$ -(XXVI) и $^{[32}P]p$ -(XLIV) были подвергнуты частичному гидролизу при помощи VPDE с последующим двухмерным разделением посредством электрофореза и гомохроматографии. Полученные нуклеотидные карты (рис. 3) интерпретированы в соответствии с известными правилами [8].

Оценивая на основании результатов этой работы достоинства фосфотриэфирного метода получения олигонуклеотидов по Нарангу в сравнении

Рис. 3. Двухмерное разделение продуктов частичного гидролиза олигонуклеотидов с помолью УРДЕ: a — [^{32}P]p-(XLI), b — [^{32}P]p-(XXIII), c — [^{32}P]p-(XXVI), d — [^{32}P]p-(XLIV). Направление 1 — электрофорез на ацетилпеллюзом при pH 3,5 (5000 В); направление, 2 — гельэлектрофорез на пластинках ($20 \times 20 \times 0,02$ см) DEAE-целлюлозы, гомосмесь V. В — положение красителя-маркера кисленицианола FF



с традиционным фосфодиэфирным методом Кораны, можно заключить, что фосфотриэфирный метод более удобен — требует меньших затрат труда, времени и исходного нуклеотидного материала, приводя в конечном итоге к препаратам, которые по обычным критериям являются достаточно чистыми (см. рис. 2 α , ϵ и 3 β , γ).

Экспериментальная часть

Общие сведения об эксперименте см. [1]. В работе использованы дезоксирибонуклеозиды производства фирмы «Reanal». 5'-Диметокситритил-Н-бензоил (или-ацетил)нуклеозиды получены по методу [7]. Для хроматографии на колонках использовали силикагель марки Silicagel L 100—160 (Chemapol, ЧССР), для ТСХ — Silufol UV₂₅₄ (Chemapol). Хлороформные экстракты сушили безводным Na₂SO₄.

1. Получение защищенных 3'-мононуклеотидов. (DMTr)acGp(ClPh, CNEt) (III ϵ). Раствор *n*-хлорфенилфосфобистриазолида, приготовленный из 1,17 г (4,76 ммоль) (ClPh)OPOCl₂ и 0,7 г (10,16 ммоль) симм-триазола в 12 мл диоксана и 0,96 г (9,5 ммоль) триэтиламина, фильтровали без доступа влаги в раствор 1,46 г (2,38 ммоль) (DMTr)acG (I ϵ) в 2,5 мл пиридина. Через 15 мин, когда ТСХ (хлороформ — метанол, 9 : 1) показывала отсутствие исходного нуклеозида, прибавляли 2,4 г (34 ммоль) цианэтанола. Смесь выдерживали 1,5 ч при 20°, охлаждали до 0° и приливали 5 мл 50% водного пиридина. Через 1 ч растворители отгоняли, вязкий остаток растворяли в 50 мл хлороформа, трижды промывали 0,1 М TEAB и водой, высушивали и упаривали, удаляя следы пиридина отгонкой с толуолом. Остаток хроматографировали на колонке с силикагелем (70 мл), элюируя смесями хлороформ — метанол в соотношении от 99 : 1 до 96 : 4. Из фракции, содержащей 3% MeOH, получили 1,47 г (72%) соединения (III ϵ); $\lambda_{\text{макс}}$ 262, 278 нм (ϵ 18 000, 16 900).

При проведении реакции в тех же условиях в отсутствие пиридина выход продукта (III ϵ) составлял 55—60%; по данным ТСХ, фосфорилирование заканчивалось лишь через 6 ч, а цианэтилирование — через 20 ч.

Аналогично получены:

(DMTr)Tp(ClPh, CNEt) (III a) из 1,64 г (3,11 ммоль) (DMTr)T (I a) с выходом 89%. $\lambda_{\text{макс}}$ 267 нм (ϵ 11 000);

(DMTr)bzCp(ClPh, CNEt) (III b) из 2,11 г (3,34 ммоль) (DMTr)bzC (I b) с выходом 93%. $\lambda_{\text{макс}}$ 261, 305 нм (ϵ 20 900, 9250).

(DMTr)bzAp(ClPh, CNEt) (III e) из 1,7 г (2,59 ммоль) (DMTr)bzA (I b) с выходом 90%. $\lambda_{\text{макс}}$ 280 нм (ϵ 20 100).

2. Удаление *O*-защитной диметокситритильной группы. а. Из соединений, не содержащих bzA. Раствор 0,5 ммоль соединений (III a), (III b) или (III ϵ) в 8 мл 80% AcOH выдерживали 30 мин при 20° и упаривали в вакууме при температуре не выше 30°. Остатки AcOH отгоняли с толуолом, продукт дегидратации выделяли хроматографией на колонке с силикагелем (40 мл) в системе метанол — хлороформ. Выход 85—90%.

б. Из bzA-содержащих соединений. Раствор 0,5 ммоль мононуклеотида (III b) в 2 мл метанола смешивали с 8 мл 80% AcOH, выдерживали 50 мин при 20° и обрабатывали, как в опыте 2а. Выход 75%.

3. Удаление *P*-защитной цианэтильной группы. К раствору 0,5 ммоль соединения (III) в 20 мл диоксана при перемешивании приливали 5 мл 0,5 н. NaOH. Через 45 с реакционную смесь нейтрализовали, прибавляя 5 мл дауэksa-50 (Py⁺), раствор фильтровали и с помощью ТСХ проверяли отсутствие *P*-цианэтильного эфира (если он присутствовал, то обработку щелочью повторяли). Фильтрат упаривали несколько раз с пиридином и остаток использовали в качестве *P*-компоненты для межнуклеотидной конденсации.

4. Фосфотриэфирная межнуклеотидная конденсация. Смесь 0,76 ммоль *P*-компонента [например, соединение (V)] и 0,66 ммоль OH-компо-

Таблица 2

Межнуклеотидные конденсации

Р-Компонент *	Структура и формула	ОН-компонент *		NSBT, ммол/л	NSBT, ммол/л	II продукт конденсации			
		Структура и формула				Формула	%		
		%	%						
(DMTr)Tp(CNET) (IIIa)	acG(Ac)	920	3,0	2	28	3			
(DMTr)Tp(CNET) (IIIa)	bzAp(CNET) (VIIb)	420	1,8	2	(XXX)	3			
(DMTr)bzCp(CNET) (IIIb)	Tp(CNET) (VIa)	1000	3,4	2	(X)	3			
(DMTr)bzCp(CNET) (IIIb)	acGp(CNET) (VIIr)	790	2,6	2	(IX)	3			
(DMTr)bzAp(CNET) (IIIb)	T(Ac)	630	2,2	2	(XXXIX)	5			
(DMTr)bzAp(CNET) (IIIb)	Tp(CNET) (VIa)	880	3,0	2	(XII)	3			
(DMTr)acGp(CNET) (IIIr)	bzCp(CNET) (VIIb)	660	2,0	2	(VIII)	3			
(DMTr)bzCp(CNET) (IIIb)	bzApTp(CNET) (XXXI)	130	0,43	2	(VII)	4			
(DMTr)TpAp(CNET) (X)	bzCp(CNET) (VIIb)	100	0,3	2	(XXXIV)	4			
(DMTr)TpApTp(CNET) (VIII)	bzCpTp(CNET) (XIII)	190	0,6	2	(XV)	3			
(DMTr)TpAp(CNET) (X)	bzCpTp(CNET) (XIII)	170	0,6	2	(XVI)	4			
(DMTr)acGpbzCp(CNET) (XI)	bzApT(Ac) (XIV)	190	0,65	2	(XVII)	5			
(DMTr)bzCpbzApTp(CNET) (XXXXIII)	bzCpAcGp(CNET) (XXXXVII)	43	0,2	3	(XXXXVIII)	4			
(DMTr)TpApbzbzCp(CNET) (XXXXIV)	bzCpAcGpTpAcG(Ac)	43	0,2	3	(XXXXIX)	5			
(DMTr)TpApbzbzCpTp(CNET) (XVI)	acGpbzCpbzApT(Ac)	61	0,2	3	(XXII)	42			
(DMTr)bzApTpApbzbzCpTp(CNET) (XV)	5,5 TpbzApTpApbzbzCpTpAcGpTpAcG(Ac) (XXXXV)	4,6	0,04	4	(XXV)	33			
(DMTr)bzApTpApbzbzCpTp(CNET) (XXXXVIII)	2,5 TpbzApTpApbzbzCpTpAcGpTpAcG(Ac) (XL1)	2,5	0,04	4	(XLIV)	5 ***			

* *p* — *n*-хлорбензофосфатная группа PO₃(ClPh).

** Длительный выделение хроматографий на силикагеле.

*** Выход полекатикулеотида после удаления всех защитных групп и очистки, указанной в тексте и на рис. 2.

нента упаривали 3 раза с абс. пиридином для удаления следов воды. Прибавляли 2 ммоль NBST в 20 мл пиридина, раствор концентрировали до объема 2 мл и оставляли на 2 сут при 20°. Затем при 0° прибавляли 1,5 мл 50% водного пиридина, выдерживали 1 ч при 20° и упаривали. Остаток растворяли в хлороформе, трижды промывали 0,1 М ТЕАВ (рН 7,5) и водой, высушивали и упаривали, причем пиридин полностью удаляли отгонкой с толуолом. Продукт конденсации выделяли на колонке с силикагелем (70 мл), элюируя раствором метанола в хлороформе. Результаты проведенных конденсаций представлены в табл. 2.

5. Получение динуклеотидов (VIII) и (XII) через стадию фосфодиэфирной конденсации. а. (*DMTr*)bzAp(*XXVII*). 250 мг (0,38 ммоль) (*DMTr*)bzA (*Ib*) и 254 мг (0,57 ммоль) pT (Ac) упаривали 3 раза с абс. пиридином, прибавляли 295 мг (1,14 ммоль) NBST в 5 мл пиридина, раствор концентрировали до объема 2 мл и оставляли на 2 сут при 20°. Затем прибавляли 2 мл 50% водного пиридина, выдерживали 1 ч при 20° и упаривали. Остаток растворяли в хлороформе, экстрагировали 0,2 М ТЕАВ (рН 7,5), промывали водой и высушивали. Полученный после упаривания хлороформа маслообразный остаток растворяли в 4 мл пиридина, охлаждали до 0° и при перемешивании приливали 4 мл 2 н. NaOH. Через 10 мин смесь пейтрализовали, прибавляя 10 мл дауэкса-50 (Ру⁺), раствор фильтровали и упаривали. После переосаждения из пиридина эфиrom получили (*XXVII*) с выходом 63%; $\lambda_{\text{макс}}$ 278 нм (ϵ 30 600).

б. (*DMTr*)bzAp(*ClPh*)T (*XVIII*). Раствор 162 мг (0,15 ммоль) динуклеозидфосфата (*XXVII*), 192 мг (1,2 ммоль) *n*-хлорфенола и 254 мг (1,0 ммоль) NBST или 301 мг (1,2 ммоль) MST в 5 мл сухого пиридина выдерживали 60 ч при 20°. Реакционную смесь разлагали и обрабатывали по методике 4. В результате хроматографии на колонке с силикагелем выделили 90 мг (56%) Р-защищеннего динуклеозидфосфата (*XXVIII*); $\lambda_{\text{макс}}$ 278 нм (ϵ 31 500).

в. (*DMTr*)bzAp(*ClPh*)Tp(*ClPh*, CNET) (*VIII*). 280 мг (0,26 ммоль) соединения (*XXVIII*) в условиях опыта I фосфорилировали *n*-хлорфенилфосфобистриазолидатом, приготовленным из 148 мг (0,6 ммоль) (*ClPh*)OPOCl₂, а затем циантилизировали 105 мг (1,5 ммоль) цианэтанола. Выход защищенного динуклеотида (*VIII*) 225 мг (66%).

г. (*DMTr*)bzAp(*ClPh*)T(Ac) (*XII*). Раствор 200 мг (0,187) ммоль Р-защищенного динуклеозидфосфата (*XXVIII*) в 4 мл пиридина и 1 мл Ac₂O выдерживали 16 ч при 20°, охлаждали, прибавляли 5 мл метанола и оставляли при 5°. Через 5 ч упаривали, обрабатывали обычным способом и хроматографировали на колонке с силикагелем. Выход 3'-ацетата (*XII*) 156 мг (75%).

б. Удаление всех защитных групп (кроме концевой Р-хлорфенильной). Раствор 3 мг полностью защищенного олигонуклеотида в 10 мл 30% амиака выдерживали в закрытой колбе 2 сут при 20°, упаривали досуха, остаток растворяли в 5 мл 80% уксусной кислоты и выдерживали 30 мин при 20°. Уксусную кислоту отгоняли, остаток растворяли в воде и снова упаривали. Полученное вещество хроматографировали на колонке с DEAE-целлюлозой в градиенте концентрации TEAB или NaCl в 7 М мочевине, рН 7,5.

7. Ферментативный гидролиз. К 5 ОЕ₂₆₀ олигонуклеотида в 7 мкл воды прибавляли 5 мкл 0,4 М аммоний-ацетатного буфера (рН 6,8) и 8 мкл раствора SPDE (5 мг/мл). Смесь инкубировали 3 ч при 37° и хроматографировали на бумаге Ватман № 1 в системе (NH₄)₂SO₄ — 1 М AcOH — изо-PrOH, 40 : 6 : 1. Мононуклеотиды элюировали 0,01 н. HCl из соответствующих зон и определяли спектрофотометрически.

Гидролиз с помощью VPDE проводили, как описано ранее [9].

ЛИТЕРАТУРА

1. Берлин Ю. А., Болдырева Е. Ф., Ефимов В. А., Колосов М. Н., Коробко В. Г., Чахмахчева О. Г., Шингарова Л. Н. (1978) Биоорганическая химия, 4, 208—219.
2. Pribnow D. (1975) J. Mol. Biol., 99, 419—443.
3. Itakura K., Katagiri N., Narang S. A. (1975) J. Biol. Chem., 250, 4592—4600.
4. Katagiri N., Itakura K., Narang S. A. (1975) J. Amer. Chem. Soc., 97, 7332—7337.
5. Knorre D. G., Lebedev A. V., Zarytova V. F. (1976) Nucleic Acids Res., 3, 1401—1418.
6. Быстров Н. С., Добринин В. Н., Колосов М. Н., Чернов Б. К. (1976) Биоорганическая химия, 2, 1271—1272.
7. Schaller H., Weimann G., Lerch B., Khorana H. G. (1963) J. Amer. Chem. Soc., 85, 3821—3841; (1965) J. Amer. Chem. Soc., 87, 2988—2995.
8. Jay E., Bambara R., Padmanabhan P., Wu R. (1974) Nucleic Acids Res., 1, 331—353.
9. Берлин Ю. А., Дьяков В. Л., Колосов М. Н. (1974) Биохимия, 39, 747—751.

Поступила в редакцию
13.IX.1977

SYNTHESIS OF OLIGO- AND POLYNUCLEOTIDES. XX. THE SYNTHESIS OF DODECADEOXYNUCLEOTIDES ATCTTACTGCAT AND CATCGTACCGTG BY PHOSPHOTRIESTER APPROACH

DOBRYNIN V. N., BOLDYREVA E. F., BYSTROV N. A.,
SEVERTSOVA I. V., CHERNOV B. K., KOLOSOV M. N.

*M. M. Shemyakin Institute of Bioorganic Chemistry,
Academy of Sciences of the USSR, Moscow*

Dodecadoxynucleotides A-T-C-T-T-A-C-T-G-C-A-T (XXVI) and C-A-T-C-G-T-A-C-C-G-T-G (XLIV) have been synthesized. These sequences are the constituents of the A₂ and A₃ promoters of T7 bacteriophage DNA. The phosphotriester approach proposed by Narang et al. was employed and the syntheses of (XXVI) and (XLIV) were carried out according to the schemes (2 + 2) + [(2 + 2) + (2 + 2)] and [(1 + 2) + 2] + [(2 + 1) + +(2 + 2)], respectively. As starting compounds served completely N, O, P-protected 3'-nucleotides prepared by phosphorylation of appropriate N-acyl-5'-dimethoxytrityl nucleosides with p-chlorophenyl phosphobistriazolide in the presence of pyridine which was found to significantly accelerate the reaction. For internucleotide condensations p-nitrobenzenesulphonyltriazolide (NBST) was used as a coupling reagent. This compound was shown by ³¹P-NMR to transform chlorophenyl nucleoside-3'-phosphates into corresponding pyrophosphates and triazolides, which are probably the active phosphorylating intermediates in these condensations.